



IRANIAN SOCIETY of  
CRYSTALLOGRAPHY  
and MINERALOGY

Vol. 16, No. 2, summer 1387/2008

IRANIAN JOURNAL of  
CRYSTALLOGRAPHY  
and MINERALOGY

## Application of mineral and whole rock analysis in identification of petrogenesis of the pillow lavas in the Nain ophiolite

Ghodrat Torabi<sup>1</sup>, Elham Abdollahi<sup>2</sup>, Nargess Shirdashtzadeh<sup>1</sup>

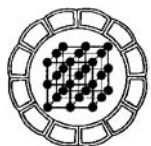
1- Department of Geology, University of Isfahan

2- Department of geology, Islamic Azad University of Khorasan  
Email: Torabighodrat@yahoo.com

(Received: 27/10/2007 , in revised form: 16/4/2008)

**Abstract:** Pillow lavas are one of the important rock units of Nain ophiolite. Rock forming minerals of Nain ophiolite pillow lavas are chloritized olivine, plagioclase, clinopyroxene (augite), Cr-spinel, magnetite, amphibole, chlorite, pumpellyite, epidote, prehnite and calcite. Whole rock geochemical analyses and composition of clinopyroxenes and chromian spinels of these rocks indicate that they are similar to mid-ocean ridge basalts. These lavas are basalt to andesite in composition and produced by high degree of partial melting of a depleted mantle lherzolite. According to their field studies, petrography, mineral and whole rock geochemistry, they have undergone sub-sea floor metamorphism and changed to spilite. Application of clinopyroxene thermometry shows that they have formed at 1058 to 1170 °C.

**Keywords:** Petrology, Ophiolite, Pillow lavas, Nain.



## کاربرد آنالیز کانی‌ها و سنگ کل در شناسایی گدازه‌های بالشی افیولیت نائین

قدرت ترابی<sup>۱</sup>، الهام عبدالله<sup>۲</sup>، نرگس شیردشت زاده<sup>۱</sup>

۱- گروه زمین‌شناسی دانشگاه اصفهان

۲- گروه زمین‌شناسی دانشگاه آزاد خوارسگان

پست الکترونیکی: Torabighodrat@yahoo.com

(دریافت مقاله: ۱۳۸۶/۸/۵، نسخه نهایی: ۱۳۸۷/۱/۲۸)

**چکیده:** گدازه‌های بالشی، یکی از واحدهای سنگی مهم افیولیت نائین را تشکیل می‌دهند. کانی‌های تشکیل دهنده گدازه‌های بالشی افیولیت نائین عبارتند از الیوین کلریتی شده، پلازیوکلارز، کلینوپیروکسن (اوژیت)، اسپینل کرومدار، مگنتیت، آمفیبول، کلریت، پومپلئیت، اپیدوت، پرهنیت، و کلسیت. نتایج آنالیز شیمیایی سنگ کل این واحدها و نیز بررسی ترکیب کلینوپیروکسنها و اسپینل‌های کرومدار موجود در گدازه‌های بالشی، حاکی از شباهت این سنگها به بازالت‌های پشت‌های میان اقیانوسی است. این گدازه‌ها با ترکیب بازالت تا آندزیت، از ذوب بخشی با دمای بالای یک لرزولیت تهی شده گوشه شکل گرفته‌اند. بررسی‌های صحرابی و سنگ‌شناختی، مطالعه شیمی‌کانی‌ها و ژئوشیمی‌سنگ کل، نشان از تبدیل این سنگها به اسپینل در اثر دگرگونی کف اقیانوس دارد. دماستجی کلینوپیروکسنها نشان می‌دهد که این کانی‌ها در دمایی در حدود ۱۰۵۸ تا ۱۱۷۰ درجه سانتیگراد تشکیل شده‌اند.

**واژه‌های کلیدی:** سنگ‌شناسی، افیولیت، گدازه‌های بالشی، نائین.

افیولیت نائین یکی از افیولیت‌های اطراف میکروپلیت شرق-ایران مرکزی<sup>۱</sup> است که در طول جغرافیایی ۵۶°، ۵۷° تا ۱۰°، ۵۳° شرقی و عرض ۵۲°، ۳۲° تا ۱۰°، ۳۳° شمالی، و در محل تغییر روند گسل درونه قرار دارد (شکل ۱ و ۲). این زون افیولیتی از شمال شهر نائین تا روستای سپرده می‌شود و سن آن مژوزوئیک است [۴ - ۶]. بر پایه مطالعات [۵ - ۱۵]، از نظر سنگ‌شناسی این دنباله افیولیتی همانند افیولیت‌های دیگر از بالا به پایین به ترتیب شامل آهک‌های پلازیک، بازالت، گدازه بالشی، دایک‌های دیابازی، پلازیوگرانیت، گابرو، پیروکسنتیت، و پریدوتیت‌های گوشه است که با رویدادهای دگرگونی و دگرسانی‌های پسین سنگهای جدیدی نیز در آن

مقدمه گدازه‌های بالشی موجود در افیولیت‌ها نشان از برون ریزی مagma‌ای بازالتی در محیط آبی داشته، و اطلاعات گرانبهایی در مورد سنگ خاستگاه ترکیب آبگون اولیه، درصد ذوب بخشی، محیط زمین ساخت جهانی، و فرآیندهای پس از آتشفشاری در اختیار زمین شناسان قرار می‌دهند [۱]. از آنجا که پدیده‌هایی چون دگرگونی کف اقیانوس و اسپینلیتی شدن، موجب می‌شوند تا ترکیب این سنگها و کانی‌شناسی آنها در اثر پدیده‌هایی پس از آتشفشاری دستخوش تغییر شوند. لذا به منظور پی بردن به ماهیت نخستین این سنگها از ترکیب کلینوپیروکسنها و اسپینلهای کرومدار و نیز ژئوشیمی‌عنصر نادر خاکی این سنگها استفاده می‌شود [۲, ۳].

(1)  $53.9''$  E  $00' 00''$  و  $23.3''$  N  $33^{\circ} 09'$  (رخمنون اصلی)

گدازه‌های بالشی نزدیک معدن کوه زرد؛

(2)  $57.2''$  E  $02' 57.2''$  و  $N33^{\circ} 04' 18.0''$

(3)  $50.8''$  E  $03' 09.5''$  و  $N33^{\circ} 04' 20.8''$

(4)  $54.1''$  E  $03' 20.9''$  و  $N33^{\circ} 04' 54.1''$  (رخمنون بالشها با

حجم زیاد همراه با چرت‌های تیره)؛

(5)  $25.8''$  E  $02' 05.1''$  و  $N33^{\circ} 05' 22.1''$  (رخمنون بالشها با

شکستگی‌های سطحی چند ضلعی).

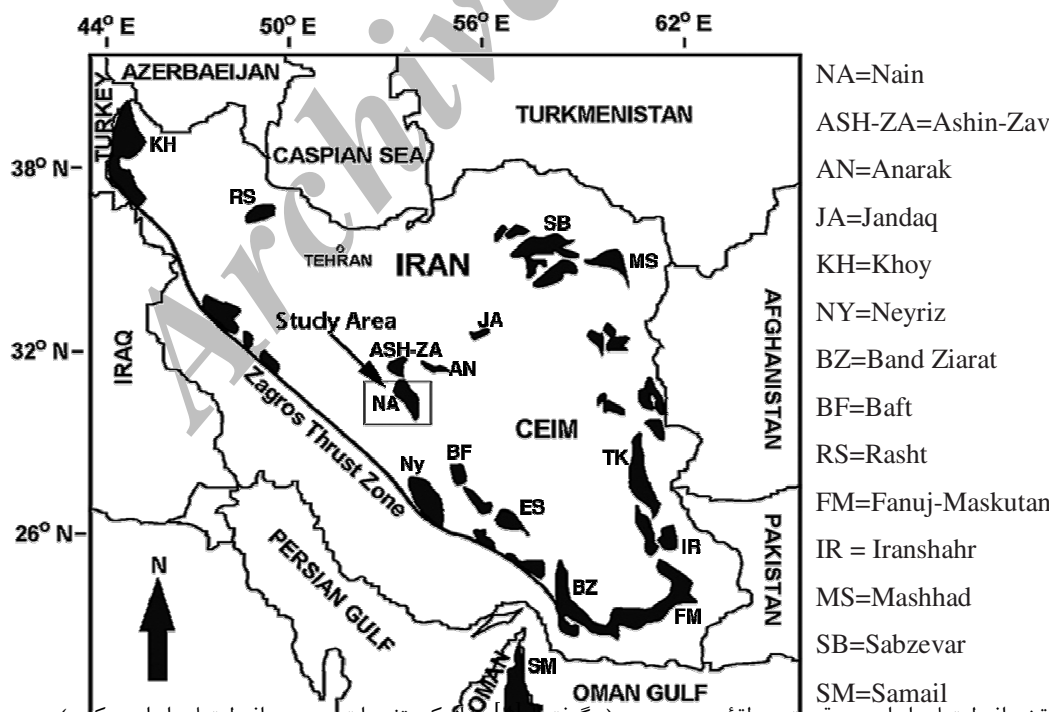
این گدازه‌های بالشی نتیجه آخرین فعالیت ماقمایی در پوسته اقیانوسی مربوطه می‌شوند. این سنگها با چرت‌های شعاعی و سنگ آهک‌های کرتاسه بالایی پوشیده شده‌اند. قرار داشتن سنگ آهک‌های پلاژیک کرتاسه بالایی روی گدازه‌های بالشی موجود در افیولیت نائین، بیانگر سن کرتاسه بالایی گدازه‌های بالشی است [5 و 17].

در این مقاله کانی‌شناسی و ژئوشیمی گدازه‌های بالشی افیولیت نائین، دگرگونی کف اقیانوس، و تعیین شرایط تشکیل آنها مورد بررسی قرار خواهد گرفت.

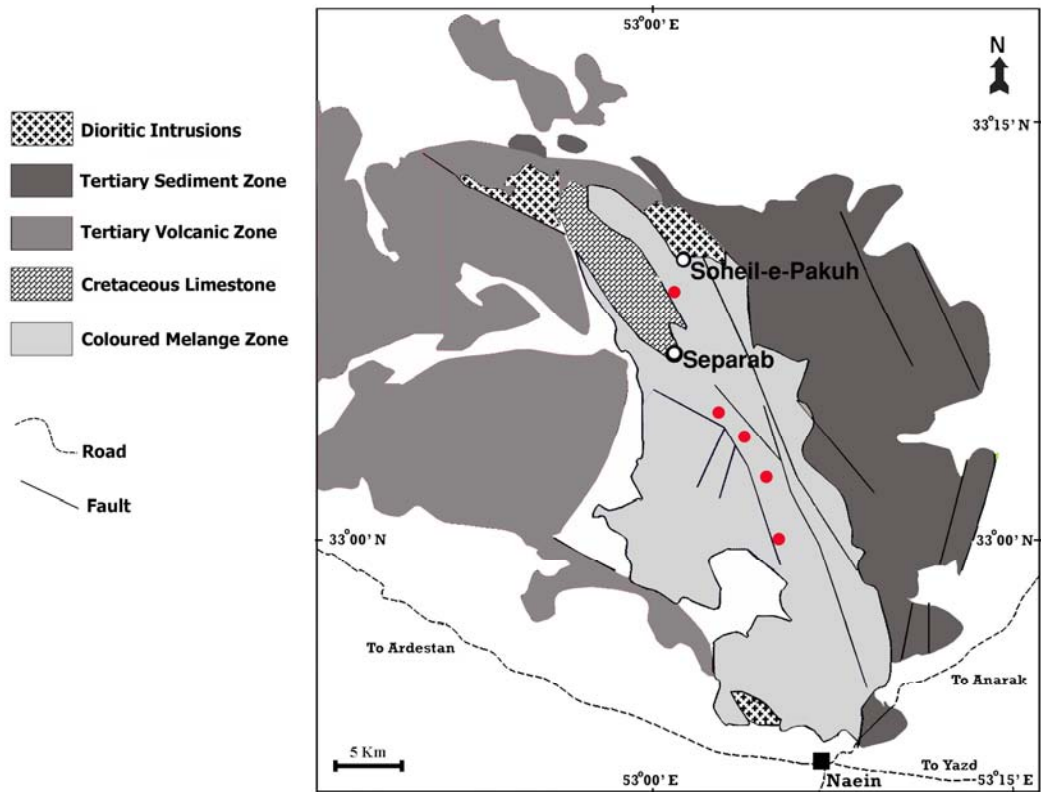
تشکیل شده‌اند. بر پایه بررسیهای صورت گرفته، سرپانتینیتها و اولترامافیکهای سرپانتینی شده گوشتی، به صورت متن و زمینه اصلی این آمیزه بوده و سنگ‌های دگرگون به صورت تخته سنگ‌های بزرگ و کوچک در نقاط مختلف آن پراکنده‌اند. از جمله این سنگ‌های دگرگون می‌توان به مرمر، شیست، کوارتزیت، اسکارن، متاچرث نواری، اسپیلیت، متاگابرو، آمفیولیت، سرپانتینیت، رودینگیت، و لیستونیت اشاره کرد.

سنگ‌های بازی موجود در این افیولیت تاکنون توسط افراد زیادی مورد مطالعه قرار گرفته‌اند. از آن جمله می‌توان به بررسیهای و تحلیلهای ژئوشیمیایی عناصر اصلی و کمیاب سنگ‌های بازی موجود در این مجموعه افیولیتی توسط [6، 7] و [10] اشاره کرد.

گدازه‌های بالشی یکی از انواع سنگ‌هایی هستند که در افیولیت آمیزه نایین به فراوانی مشاهده می‌شوند. از جمله رخمنوهای این سنگها می‌توان به نقاطی چون جنوب شرقی سپرو و جنوب غربی سهیل پاکوه اشاره کرد (شکل‌های 2 و 3). مختصات جغرافیایی بهترین رخمنوهای گدازه‌های بالشی افیولیت نایین در زیر آورده شده‌اند:



شکل ۱ نقشه افیولیت‌های ایران و موقعیت منطقه مورد بررسی (برگرفته از [4])، با اندکی تغییرات در موضع افیولیت‌های ایران مرکزی.



شکل 2 نقشه زمین‌شناسی شمال نائین. موقعیت بهترین رخنمون‌های گدازه‌های بالشی به صورت دایره نشان داده شده‌اند.



شکل 3 تصاویر صحرایی گدازه‌های بالشی افیولیت نایین.

برای دستیابی به ترکیب شیمیایی کانیها، نمونه‌های مناسب با استفاده از یک دستگاه ریز پردازنده الکترونی JEOL مدل JXA-8800R (WDS) دانشگاه کاشاوازی زاپن، با ولتاژ شتاب دهنده ۱۵ kV و شدت جریان ۱۵ nA مورد بررسی قرار

**روش مطالعه**  
پس از بررسیهای صحرایی، نمونه برداری از رخنمون‌های مناسب انجام شد. بر این اساس 30 نمونه برای بررسی‌های سنگ‌شناختی انتخاب شدند و از آنها مقاطع نازکی تهیه شدند.

در برخی موارد شعاعی بوده و بافت آبله گون را نمایش می‌دهند. پلازیوکلازهای موجود در این سنگها بیشتر از نوع آلبیتی هستند و از دگرگونی پلازیوکلازهای بازی به دست آمداند. از کانیهای دیگر موجود در این سنگها می‌توان به پومپلئیتها اشاره کرد که بیشتر به شکلهای سوزنی و شعاعی دیده می‌شوند. تصاویر میکروسکوپیکی گدازه‌های بالشی افیولیت نائین در شکل 4 دیده می‌شوند.

#### شیمی کانی‌ها

به منظور بررسی بهتر و دقیق‌تر کانی‌های موجود در این سنگها، آنها را مورد آنالیز ریز پردازشی قرار دادیم که نتایج در جدولهای 1، 2 و 3 آورده شده‌اند. بر این اساس En<sub>45.010-53.430</sub> کلینوپیروکسن‌های موجود دارای ترکیب A-5 WO<sub>36.542-42.028</sub> F<sub>6.672-17.703</sub> دیده می‌شود، موقعیت ترکیبی آنها در نمودار طبقه بندی کلینوپیروکسنها در گستره اوزیت قرار می‌گیرد. همچنین میانگین میزان #Mg آنها برابر 0,85 است.

پلازیوکلازهای سالم موجود در این سنگها دارای ترکیب Ab<sub>35.3</sub> An<sub>64.0</sub> Or<sub>0.7</sub> و از نوع لابرادوریت‌اند ولی اغلب آنها تحت تاثیر دگرگونی کف دریا و دگرسانیهای بعدی قرار گرفته‌اند، و در نتیجه با جانشیستی Na به جای Ca، ترکیب آنها به سمت آندزین (Ab<sub>50.7</sub> An<sub>48.5</sub> Or<sub>0.8</sub>) و آلبیت (Ab<sub>91.9-94.2</sub> An<sub>5.6-8.0</sub> Or<sub>0.1-0.2</sub>) تغییر کرده است (شکل 5).

از دیگر کانی‌های موجود در این سنگها اسپینلهای کرومدارند که کاملاً سالم مانده و مقدار #Cr آنها بین 0,39 تا 0,47 تغییر می‌کند. همچنین مقدار TiO<sub>2</sub> موجود در این کانیها نیز در حدود 0,19 تا 0,28 و میزان #Fe<sup>+3</sup> آنها بین 0,03 تا 0,05 است.

چنانکه پیش از این قبلاً اشاره شد، برخی از کلینوپیروکسنها به آمفیبول تبدیل شده‌اند. نتایج آنالیز ریز پردازش آمفیبولها (جدول‌های 1، 2 و 3)، نشان می‌دهد که آمفیبولهای موجود از نوع کلسیک است و روی نمودار تقسیم بندی آمفیبولها در گستره ترمولیت و ترمولیت-اکتینولیت قرار می‌گیرند (شکل C-5). میزان #Mg آمفیبولهای موجود در حدود 0,90 است. کربناتهای موجود در این سنگها نیز از نوع کلسیت‌اند.

#### ژئوشیمی سنگ کل

گرفتند. در دستیابی فرمول ساختاری کانی‌ها و جدایش مقدار Fe<sup>2+</sup> از Fe<sup>3+</sup> نیز از روش عنصر سنجی [18]، استفاده شد. از میان نمونه‌های برداشته شده، تعداد 9 نمونه انتخاب و در مرکز تحقیقات و تولید سوتخت هسته‌ای اصفهان، با استفاده از روش فعال سازی نوترونی (NAA) آنالیز شدند. از نتایج آنالیز عناصر اصلی دو نمونه گدازه بالشی افیولیت نائین که پیش از این توسط [5] مورد بررسی قرار گرفته بودند، نیز استفاده شد.

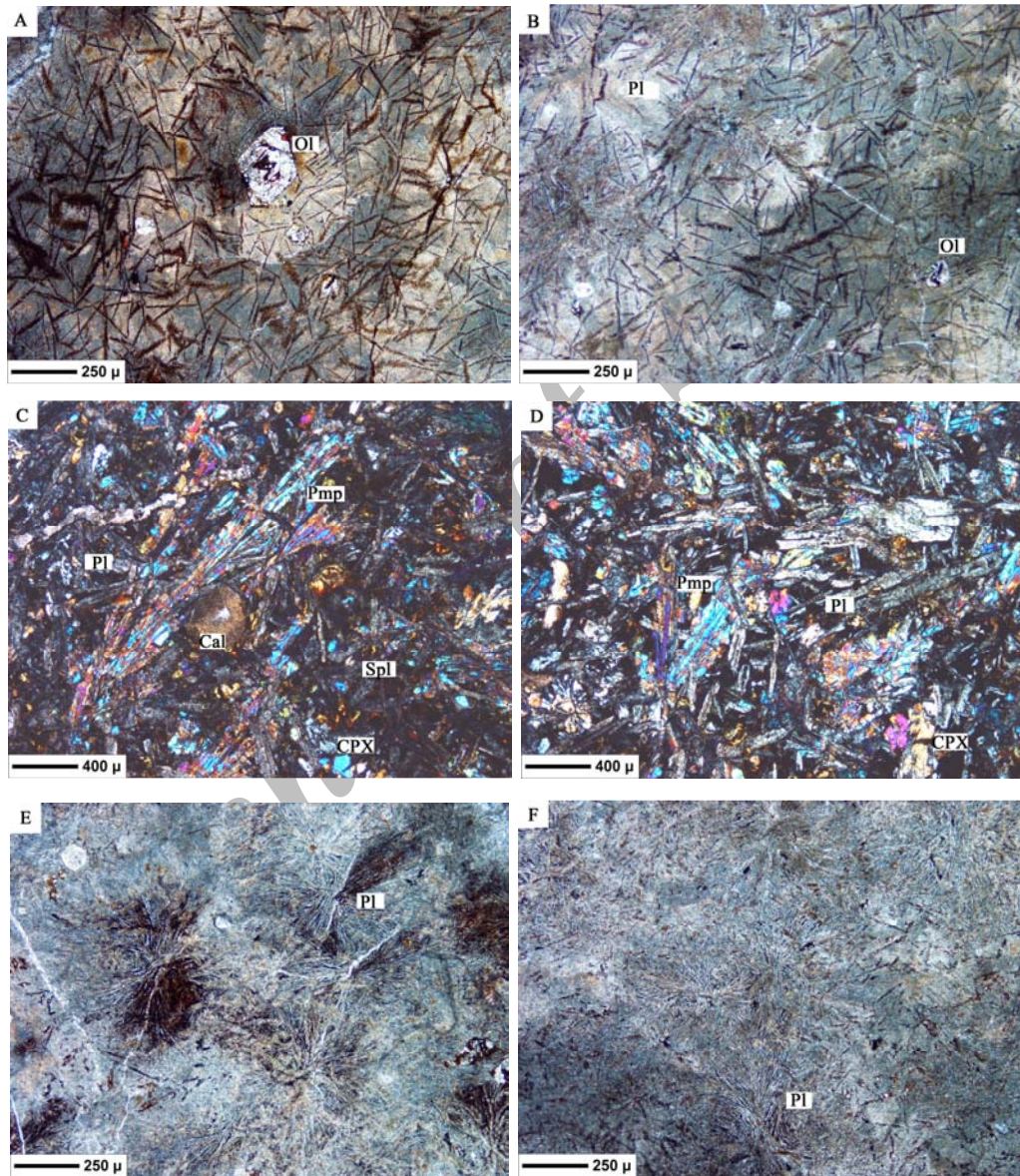
#### سنگ شناختی

گدازه‌های بالشی مورد مطالعه، در نمونه‌های دستی، به شکلهای کروی، کشیده، و بیضوی و به رنگهای تیره تا سبز و قهوه‌ای دیده می‌شوند. قطر این گدازه‌های بالشی به طور متوسط 40 سانتی متر است، ولی گاه تا حدود دو متر نیز می‌رسد (شکل B-3). سردایش ناگهانی این گدازه‌ها در مجاورت با آب دریا، موجب تشکیل شکستگیهای چند ضلعی روی سطح خارجی آنها شده است که موجب سرعت شکل‌گیری به پدیده اسپیلیتی این سنگها شده است، و فضای بین بالشها را ته نشسته‌های دریایی پر کرده‌اند. در مقاطع عرضی این گدازه‌های بالشی شکستگیهای شعاعی به خوبی قابل مشاهده است. وجود دایک‌های دیابازی همراه با گدازه‌های بالشی در درون دره نزدیک معدن کوه زرد به خوبی مشخص است.

بررسی‌های میکروسکوپیکی نشان می‌دهند که بافت‌های موجود در این سنگها شامل بین دانه‌ای، آبله گون و موزائیکی بوده و از الیوین کلریتی، پلازیوکلاز، کلینوپیروکسن، اسپینل کرومدار، کلریت، آمفیبول، پومپلئیت، کلسیت، و مگنتیت تشکیل شده‌اند. کلینوپیروکسنها و اسپینلهای کرومدار موجود در این سنگها کانیهای اولیه و آذرین بوده و تحت تاثیر دگرگونی قرار نگرفته‌اند. همچنین تمام الیوینهای موجود در این سنگها نیز به کلریت تبدیل شده‌اند. اسپینل‌های کرومدار به شکل بلورهای یوهدرال کوچک و به رنگ قهوه‌ای روش هستند. این کانی بیشتر به صورت نفوذیهایی در درون یا بین بلورهای پلازیوکلاز دیده می‌شود. کلینوپیروکسنها غالباً در فضای بین بلورهای پلازیوکلاز قرار دارند و بخش‌هایی از آنها نیز در اثر دگرگونی به آمفیبول یا پومپلئیت تبدیل شده‌اند. وجود کلینوپیروکسنها در فضای بین پلازیوکلازها نشان‌گر تبلور کلینوپیروکسن‌ها پیش از پلازیوکلازا و وجود بافت بین دانه‌ای در این سنگ‌هاست. بلورهای پلازیوکلاز در اثر سردایش سریع

به دلیل وجود کانیهای آبدار در اثر دگرگونی کف دریاست. همچنین میزان بالای  $\text{TiO}_2$  (تا ۱,۷۰٪)، این سنگها نشان می-دهد که این گدازه‌های بالشی به سری تولیتی تعلق دارند و جزء بازالت‌های پشت‌های میان اقیانوسی (MORB) هستند.

به منظور بررسی ماهیت گدازه‌های بالشی، این سنگها مورد آنالیز سنگ کل به روش NAA قرار گرفتند که نتایج آنالیز آن در جدول ۴ آورده شده‌اند. بر پایه این نتایج، میزان  $\text{SiO}_2$  موجود در این سنگها در حدود ۵۸–۴۵٪ بوده و در گستره بازالت تا آندزیت قرار دارند. مقدار قابل توجه LOI این سنگها



شکل ۴ تصاویر میکروسکوپیکی گدازه‌های بالشی افیولیت ملانژ نایین: (A) و (B): بازالت‌های الیون‌دار (ppl)، که شیشه‌های آن نیز دستخوش تبلور شده‌اند (دویت‌بیکاسیون)؛ (C) و (D): بازالت‌های غنی از کلینوپیروکسن و پومپلئیت (xpl)، (E) و (F): بازالت‌های غنی از پلاژیوکلаз با بافت آبله-گون (ppl) (مخفف اسمی کانی‌ها برگرفته از [۱۹]). این تصاویر نتیجه، رخداد جدایش در مagma‌های سازنده گدازه‌های بالشی هستند.

جدول 1 نتایج آنالیز نقطه‌ای کانیهای موجود در گدازه‌های بالشی افیولیت نائین بر پایه درصد وزنی اکسیدها.

Mineral	SiO <sub>2</sub>	TiO <sub>2</sub>	Al <sub>2</sub> O <sub>3</sub>	Cr <sub>2</sub> O <sub>3</sub>	FeO*	MnO	MgO	CaO	Na <sub>2</sub> O	K <sub>2</sub> O	NiO	Total
Clinopyroxene 1	48.73	1.06	3.87	0.06	11.15	0.31	16.62	18.47	0.31	0.00	0.00	100.00
Clinopyroxene 2	50.84	0.55	2.11	0.05	10.70	0.37	16.15	18.82	0.43	0.00	0.00	100.02
Clinopyroxene 3	53.19	0.16	2.52	0.37	4.17	0.20	18.77	20.27	0.18	0.00	0.09	99.92
Clinopyroxene 4	53.72	0.17	2.59	0.29	4.12	0.13	18.80	20.26	0.21	0.00	0.06	100.34
Clinopyroxene 5	53.14	0.21	2.35	0.37	4.18	0.12	18.71	19.79	0.20	0.00	0.02	99.09
Clinopyroxene 6	53.06	0.19	2.61	0.56	3.84	0.13	18.60	21.01	0.17	0.00	0.05	100.22
Clinopyroxene 7	52.01	0.53	3.80	0.29	5.87	0.15	17.34	20.32	0.15	0.01	0.07	100.54
Clinopyroxene 8	53.84	0.19	2.21	0.33	4.44	0.14	19.16	19.66	0.19	0.02	0.01	100.19
Clinopyroxene 9	53.29	0.21	2.44	0.38	4.39	0.13	18.78	19.97	0.17	0.00	0.05	99.81
Amphibole 1	51.71	0.22	2.22	0.00	4.59	0.09	19.80	18.26	0.21	0.02	0.01	97.09
Amphibole 2	52.34	0.33	4.23	0.00	1.38	0.16	18.41	20.86	0.21	0.00	0.08	97.92
Amphibole 3	49.83	0.30	3.67	0.00	4.05	0.19	18.44	18.16	0.20	0.01	0.08	94.91
Pumpellyite 1	36.00	0.40	18.97	0.00	10.58	0.10	2.77	21.00	0.13	0.02	0.00	89.97
Pumpellyite 2	38.70	0.21	22.84	0.06	5.44	0.10	3.36	19.48	0.46	0.30	0.00	90.93
Pumpellyite 3	34.49	0.22	20.01	0.00	7.27	0.12	2.74	20.97	0.05	0.00	0.09	85.87
Pumpellyite 4	33.84	0.29	19.37	0.07	7.96	0.09	2.53	21.02	0.09	0.01	0.02	85.29
Pumpellyite 5	34.60	0.12	19.73	0.06	8.06	0.20	2.70	20.95	0.06	0.02	0.02	86.48
Plagioclase 1	54.66	0.30	21.63	0.00	0.09	0.00	0.00	1.76	10.61	0.02	0.00	100.94
Plagioclase 2	66.75	0.05	20.85	0.00	0.19	0.05	0.02	1.14	10.64	0.04	0.01	99.73
Plagioclase 3	52.88	0.16	26.01	0.00	2.85	0.08	0.84	13.05	3.97	0.12	0.00	99.97
Plagioclase 4	67.54	0.37	20.17	0.00	0.91	0.06	0.53	6.34	3.67	0.08	0.03	99.70
Cr-Spinel 1	0.17	0.19	33.02	32.04	15.29	0.20	16.48	0.14	0.01	0.00	0.19	97.72
Cr-Spinel 2	0.31	0.25	32.82	31.12	14.04	0.16	17.02	0.05	0.04	0.01	0.24	96.05
Cr-Spinel 3	0.00	0.23	30.97	33.82	15.74	0.15	16.11	0.03	0.00	0.00	0.00	97.05
Cr-Spinel 4	0.05	0.28	31.52	347.07	15.99	0.03	16.01	0.01	0.00	0.00	0.00	97.96
Cr-Spinel 5	0.00	0.27	29.35	38.05	13.66	0.21	16.48	0.00	0.00	0.00	0.00	98.01
Cr-Spinel 6	0.00	0.26	28.65	38.14	13.74	0.12	16.49	0.00	0.00	0.00	0.00	97.67
Cr-Spinel 7	0.00	0.25	29.10	38.39	13.56	0.08	16.60	0.11	0.00	0.00	0.00	98.05
Cr-Spinel 8	0.00	0.26	29.52	37.39	13.25	0.09	16.51	0.00	0.00	0.00	0.00	98.96

جدول 2 نتایج فرمول ساختاری کانیهای موجود در جدول ۱.

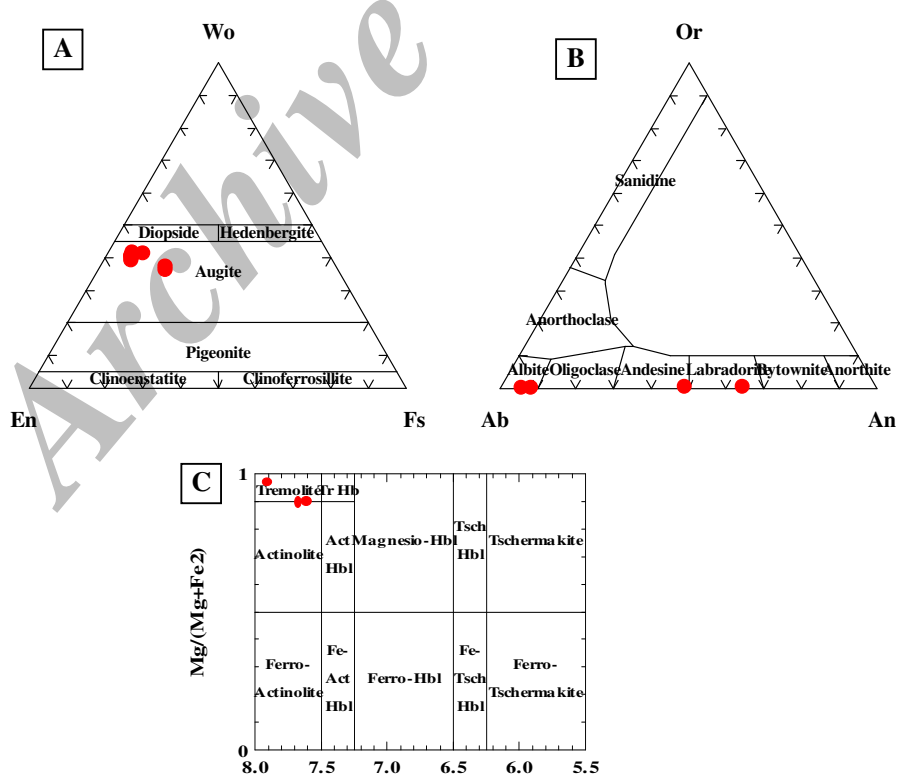
Sample	Mineral Type	Oxwg.*	Si	Ti	Al	Cr	Fe <sup>+2</sup>	Fe <sup>+3</sup>	Mn	Mg	Ca	Na	K	Ni	Total
Clinopyroxene 1	Augite	6	1.79	0.03	0.17	0.00	0.13	0.21	0.01	0.91	0.73	0.02	0.00	0.00	4.00
Clinopyroxene 2	Augite	6	1.88	0.02	0.09	0.00	1.19	0.14	0.01	0.89	0.75	0.03	0.00	0.00	4.00
Clinopyroxene 3	Augite	6	1.93	0.00	0.07	0.01	0.09	0.03	0.01	0.92	0.78	0.01	0.00	0.00	4.00
Clinopyroxene 4	Augite	6	1.93	0.00	0.06	0.01	0.20	0.01	0.00	0.93	0.78	0.02	0.00	0.00	4.00
Clinopyroxene 5	Augite	6	1.94	0.01	0.06	0.01	0.30	0.01	0.00	0.93	0.77	0.01	0.00	0.00	4.00
Clinopyroxene 6	Augite	6	1.92	0.00	0.08	0.07	0.08	0.04	0.00	0.91	0.82	0.01	0.00	0.00	4.00
Clinopyroxene 7	Augite	6	1.89	0.01	0.11	0.01	0.15	0.03	0.00	0.90	0.80	0.01	0.00	0.00	4.00
Clinopyroxene 8	Augite	6	1.95	0.01	0.00	0.01	0.13	0.01	0.00	0.96	0.76	0.01	0.01	0.00	4.00
Clinopyroxene 9	Augite	6	1.94	0.01	0.01	0.01	0.20	0.01	0.00	0.90	0.77	0.01	0.00	0.00	4.00
Amphibole 1	Tremolite	23	7.39	0.02	0.37	0.00	0.54	0.00	0.01	4.22	2.79	0.05	0.00	0.00	15.42
Amphibole 2	Tremolite-Actinolite	23	7.88	0.04	0.75	0.00	0.17	0.00	0.02	4.13	3.37	0.06	0.00	0.00	16.43
Amphibole 3	Tremolite-Actinolite	23	7.28	0.03	0.63	0.00	0.49	0.00	0.02	4.02	2.84	0.05	0.00	0.00	15.39
Pumpellyite 1	Pumpellyite	26	6.60	0.05	4.09	0.00	1.62	0.00	0.02	0.76	4.12	0.05	0.01	0.00	17.32
Pumpellyite 2	Pumpellyite	26	6.74	0.03	4.69	0.00	0.79	0.00	0.02	1.87	3.64	0.16	0.07	0.00	16.99
Pumpellyite 3	Pumpellyite	26	6.52	0.03	4.46	0.00	1.15	0.00	0.02	0.77	4.25	0.02	0.00	0.00	17.22
Pumpellyite 4	Pumpellyite	26	6.49	0.04	4.38	0.00	1.28	0.00	0.02	0.72	4.32	0.03	0.00	0.00	17.29
Pumpellyite 5	Pumpellyite	26	6.53	0.02	4.39	0.00	1.27	0.00	0.03	0.76	4.24	0.02	0.00	0.00	17.27
Plagioclase 1	Albite	8	2.89	0.01	1.11	0.00	0.00	0.00	0.00	0.00	0.08	0.90	0.00	0.00	4.99
Plagioclase 2	Albite	8	2.93	0.00	1.08	0.00	0.01	0.00	0.00	0.00	0.05	0.91	0.00	0.00	4.98
Plagioclase 3	Labradorite	8	2.44	0.01	1.41	0.00	0.11	0.00	0.00	0.06	0.64	0.36	0.01	0.00	5.03
Plagioclase 4	Andesine	8	2.95	0.01	1.04	0.00	0.03	0.00	0.00	0.03	0.30	0.31	0.00	0.00	4.68
Cr-Spinel 1	Chromian Spinel	32	0.04	0.03	9.14	5.94	2.16	0.82	0.04	5.77	0.04	0.00	0.00	0.00	24.00
Cr-Spinel 2	Chromian Spinel	32	0.07	0.04	9.18	5.84	2.04	0.73	0.03	6.03	0.01	0.00	0.00	0.00	24.00
Cr-Spinel 3	Chromian Spinel	32	0.00	0.03	8.70	6.37	2.27	0.86	0.03	5.72	0.00	0.00	0.00	0.00	24.00
Cr-Spinel 4	Chromian Spinel	32	0.01	0.05	7.41	6.36	2.41	0.74	0.00	5.63	0.00	0.00	0.00	0.00	24.00
Cr-Spinel 5	Chromian Spinel	32	0.00	0.05	8.21	7.14	2.17	0.54	0.04	5.83	0.00	0.00	0.00	0.00	24.00
Cr-Spinel 6	Chromian Spinel	32	0.00	0.05	8.13	7.19	2.15	0.58	0.02	5.86	0.00	0.00	0.00	0.00	24.00
Cr-Spinel 7	Chromian Spinel	32	0.00	0.04	8.14	8.20	2.12	0.55	0.01	5.87	0.02	0.00	0.00	0.00	24.00
Cr-Spinel 8	Chromian Spinel	32	0.00	0.05	8.32	7.07	2.13	0.51	0.01	5.88	0.00	0.00	0.00	0.00	24.00

جدول ۳ محاسبه درصد اعضای پایانی محلول جامد در کلینوپیروکسنها و پلازیوکلازها، و نیز محاسبه مقادیر  $\#_{Fe^{+3}}$ ,  $\#_{Fe^{+2}}$ ,  $\#_{Cr}$  در مورد اسپینلهای کروم‌دار موجود در جدول یک.

Sample	Wollastonite	Enstatite	Ferrosilite
Clinopyroxene 1	36,54	45,76	17,70
Clinopyroxene 2	37,69	45,00	17,31
Clinopyroxene 3	40,70	52,44	6,85
Clinopyroxene 4	40,70	52,59	6,67
Clinopyroxene 5	40,24	52,93	6,83
Clinopyroxene 6	42,03	51,77	6,20
Clinopyroxene 7	41,35	49,09	9,56
Clinopyroxene 8	39,40	53,43	7,17
Clinopyroxene 9	40,24	52,65	7,11

Sample	Albite	Anorthite	Orthoclase
Plagioclase 1	91,9	0,8	0,1
Plagioclase 2	94,2	5,6	0,2
Plagioclase 3	35,3	64,0	0,7
Plagioclase 4	50,9	48,4	0,7

Sample	Fe/(Fe + Mg)	Cr# = Cr/(Cr + Al)	Mg# = Mg/(Mg + Fe <sup>2+</sup> )	Fe <sup>+2</sup>	Fe <sup>+3</sup>	Fe <sup>+2</sup> # = Fe <sup>+2</sup> /(Fe <sup>+2</sup> + Fe <sup>+3</sup> )	Fe <sup>+3</sup> # = Fe <sup>+3</sup> /(Fe <sup>+3</sup> + Al + Cr)
Cr-Spinel 1	0,34	0,39	0,73	2,16	0,82	0,72	0,05
Cr-Spinel 2	0,32	0,39	0,75	2,04	0,73	0,73	0,04
Cr-Spinel 3	0,35	0,42	0,72	2,27	0,86	0,72	0,05
Cr-Spinel 4	0,36	0,42	0,70	2,41	0,74	0,76	0,04
Cr-Spinel 5	0,32	0,47	0,73	2,17	0,54	0,79	0,03
Cr-Spinel 6	0,32	0,47	0,73	2,15	0,58	0,78	0,03
Cr-Spinel 7	0,31	0,47	0,73	1,12	0,55	0,79	0,03
Cr-Spinel 8	0,31	0,46	0,73	2,13	0,51	0,80	0,03



شکل ۵ (A) ترکیب کلینوپیروکسنها موجود در گدازهای بالشی افیولیت نایین (نمودار برگرفته از [20]); (B) ترکیب پلازیوکلازها موجود در گدازهای بالشی افیولیت نایین؛ (C) موقعیت ترکیبی آمفیبولهای موجود در گدازهای بالشی افیولیت ملانژ نایین.

جدول 4 جدول آنالیز سنگ کل گدازه‌های بالشی منطقه شمال نایین بر پایه درصد وزنی اکسیدها.

Sample Name	SiO <sub>2</sub>	TiO <sub>2</sub>	Al <sub>2</sub> O <sub>3</sub>	Fe <sub>2</sub> O <sub>3</sub> *	MnO	MgO	CaO	Na <sub>2</sub> O	K <sub>2</sub> O	LOI
p1	54.95	0.45	14.36	8.56	0.13	4.05	10.58	3.22	0.55	3.14
p2	54.89	0.73	15.82	8.95	0.14	4.43	8.45	3.13	0.55	2.91
p4	54.03	0.92	14.5	8.89	0.14	4.49	10.28	3.11	0.6	0.03
p10	54.75	0.98	15.48	10.77	0.18	3.68	5.93	4.34	0.71	3.18
p11	53.37	1.23	15.46	11.47	0.19	3.51	6.6	4.49	0.71	2.97
p18	55.28	0.63	15.44	8.76	0.15	3.66	9.44	2.71	0.72	3.2
p19	57.63	0.7	14.02	7.61	0.12	3.68	9.75	3.18	0.26	3.03
p19-1	57.99	0.63	14.74	8.14	0.13	3.43	8.83	2.8	0.31	2.99
p22	56.85	0.8	14.46	9.04	0.13	3.8	9.39	2.25	0.18	3.11
p23*	48.03	0.53	14.94	9.61	0.13	7.59	13.25	2.42	0.21	3.29
p24*	45.23	1.7	10.86	14.34	0.18	9.411	13.33	1.49	0.24	3.25

## ادامه جدول 4

Sample Name	Cr	Ni	Co	Sc	V	Zn	W	Mo	As	Ag	Au	Ta	Hf
p1	676	-	39	38	198	46	2	5.76	1.19	0.7	-	0.65	5.56
P2	728	-	43	41	192	60	2	3.77	1.68	0.8	1.9	0.73	5.38
P4	719	-	42	40	220	55	-	5.89	1.54	0.7	1.4	0.72	5.78
p10	622	-	47	46	269	141	2	1.5	18.23	-	2.8	0.69	6.12
p11	628	-	53	47	286	106	-	1.8	13.53	-	0.5	0.79	6.05
p18	1200	509	38	37	236	56	4.62	2.67	1.57	0.2	0.7	0.62	5.8
p19	510	-	35	35	191	38	2	2.81	1.1	-	3.1	0.69	5.97
p19-1	758	-	36	38	210	36	1.8	14.19	0.79	-	1.7	0.56	5.92
p22	777	355	42	38	219	49	2.33	4.78	0.94	-	3.1	0.66	5.890
p23*	518	143	38	44	202	61	-	-	4.7	4.7	-	0.28	1.2
p24*	191	161	46	53	310	151	-	-	2.95	5.3	-	0.73	295

## ادامه جدول 4

Sample Name	Th	U	La	Ce	Nd	Sm	Eu	Gd	Tb	Dy	Tm	Yb	Lu
p1	0.61	0.5	206	474	402	1.44	11	2.10	0.36	2.32	0.25	18	0.27
p2	0.72	0.6	139	326	330	1.32	0.58	2.24	0.40	2.94	0.30	195	0.28
p4	0.7	0.6	322	629	441	1.64	0.86	2.30	0.39	2.99	0.31	201	0.3
p10	0.67	0.6	296	62	450	1.68	0.86	2.43	0.44	3.10	0.33	2.38	0.37
p11	0.73	0.7	244	54	492	2.02	0.98	2.43	0.41	3.17	0.36	2.56	0.41
p18	0.63	0.5	162	343	368	1.42	0.72	2.20	0.35	2.60	0.28	1.73	0.27
p19	0.65	0.55	194	4.88	3.97	1.37	0.55	1.93	0.34	2.32	0.29	1.87	0.28
P19-1	0.57	0.5	19	4.34	3.98	1.43	0.65	2.04	0.32	2.61	0.28	1.8	0.29
p22	0.67	0.52	202	5.07	4.03	1.46	0.77	2.28	0.36	2.73	0.276	1.56	0.25
p23*	0.48	0.51	359	47	61	1.46	0.65	-	0.57	2.5	0.07	14	0.16
p24*	0.54	0.67	331	107	69	3.19	1.5	-	1.21	52	0.1	1.56	0.73

\*برگرفته از [6].

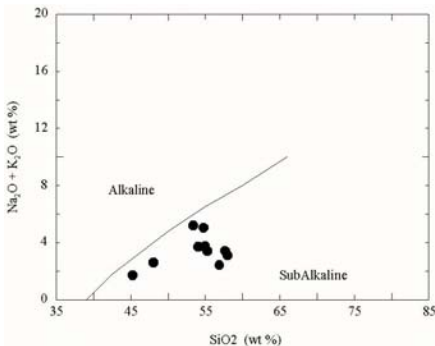
موقعیت اصلی نمونه‌ها به سمت بالاتر تغییر کرده و نزدیک به مرز جایش قلیایی و نیمه قلیایی‌ها قرار گیرند. در نمودار AFM نمونه‌ها پیرامون خط چهارم می‌باشند و سری ماگمایی قرار گرفته‌اند (شکل B-6). در نمودار قلیایی‌ها نسبت به میزان SiO<sub>2</sub>، نمونه‌ها ترکیب بازالت (B)، بازالت آندزیتی (O1) و آندزیت (O2) را نشان می‌دهند (شکل C-6). ترسیم داده‌های موجود بر نمودار Th/Yb نسبت به Ta/Yb نشان می‌دهد که نمونه‌های موجود در بخش تولئیتی قرار می‌گیرند (شکل A-7). همچنین در نمودار Ta/Yb نسبت به Th/Yb، نمونه‌ها یک خاستگاه گوشه‌ای و تا حدودی تهی شده را نشان می‌دهند (شکل B-7). همچنین در نمودار Th-Hf/3-Ta-Na<sub>2</sub>O+K<sub>2</sub>O، اغلب نمونه‌ها در گستره A قرار گرفته‌اند که به این ترتیب NMORBها مربوط می‌شود (شکل C-7).

میزان Na<sub>2</sub>O تحت تأثیر پدیده دگرگونی کف دریا افزایش یافته است (1.49٪ تا 4.49٪) و از شواهد سنگ شناختی آن می‌توان به درصد بالای آلیت در پلازیوکلازهای این سنگها اشاره کرد. سایر عناصر اصلی دیگر چون FeO، K<sub>2</sub>O، MgO، و As نیز حین دگرگونی کف دریا ممکن است به صورت متحرک عمل کنند [24]. بنابراین به دلیل دگرگونی گرمایی و رویداد دگرسانی، استفاده از نمودارهای ژئوشیمیایی بر پایه عناصر متحرک نظری قلیایی‌ها مناسب نبوده و به جای آن بهتر است از نمودارهای بر پایه عناصر HFS، استفاده شود. در نمودار قلیایی (Na<sub>2</sub>O+K<sub>2</sub>O) نسبت به SiO<sub>2</sub>، نمونه‌های گدازه بالشی افیولیت نایین در گستره نیمه قلیایی قرار گرفته‌اند (شکل 6-A). البته تأثیر فرایندهای دگرگونی کف دریا که موجب افزایش میزان قلیایی‌ها در این سنگها می‌شود، موجب شده است که

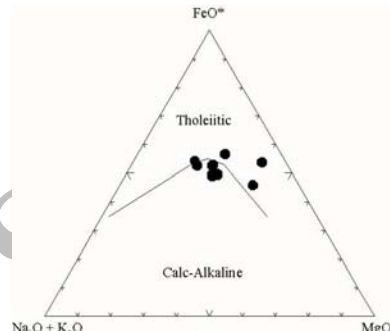
MORB است (شکل 7 و F-7). علاوه بر این در هر سه نمودار بهنجار شده بالا می‌توان ناهنجاری مثبت Eu را در تعدادی از نمونه‌ها مشاهده کرد. این پدیده به دلیل جایگزینی Eu به جای Ca در پلاژیوکلازهاست و نشان می‌دهد که REE برخلاف REE های دیگر رفتاری سازگار داشته و فوگاسیتی اکسیژن پایین بوده است.

بررسی زئوشیمی این سنگها بیانگر تولئیتی بودن آنها و شباهت به NMORB است. ترسیم نمودار بهنجار شده عناصر نادر خاکی نسبت به کندریت، بیانگر غنی‌تر بودن این سنگها از REE (به ویژه HREE) به میزان 10 برابر است (شکل 7-D). نمودار بهنجار شده آنها نسبت به NMORB و EMORB، نشانگر شباهت بیشتر سنگهای مورد مطالعه به N-

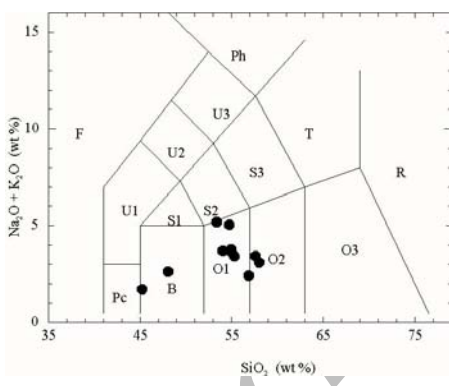
A



B

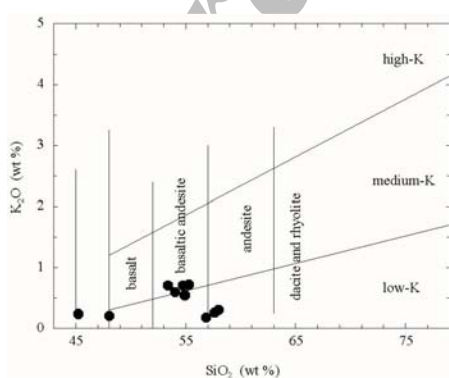


C

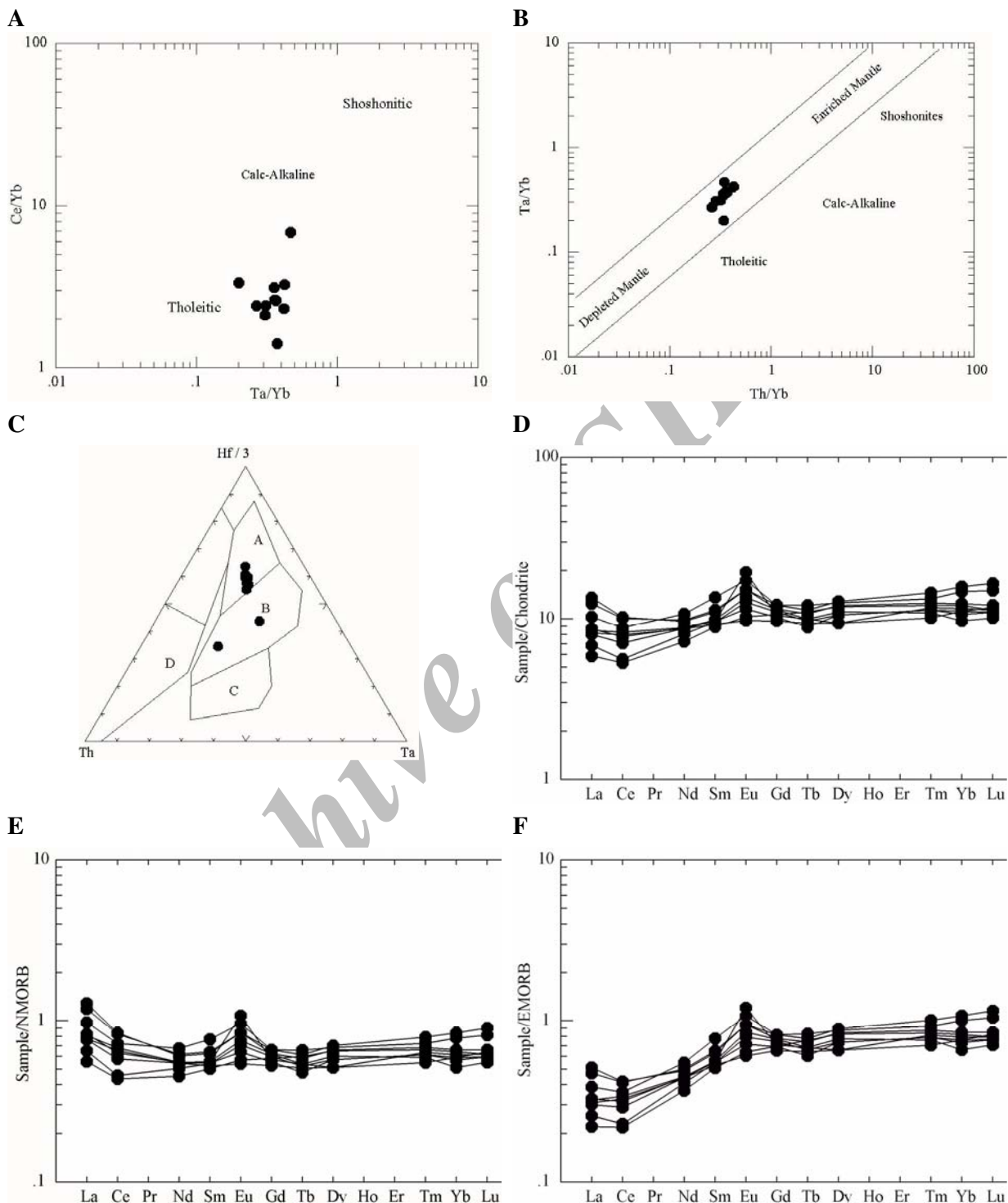


F=Foidite	U2=Phono-tephrite
Ph=Phonolite	U3=Tephro-phonolite
T=Trachyte ( $Q < 20\%$ )& Trachydacite ( $Q > 20\%$ )	S1=Trachybasalt
R=Rhyolite	S2=Basaltic
Pc=Picrobasalt	Trachy-andesite
B=Basalt	S3=Trachy-andesite
U1=Basanite ( $Ol < 10\%$ ) & Tephrite ( $Ol > 10\%$ )	O1=Basaltic Andesite
	O2=Andesite
	O3=Dacite

D



شکل 6 (A) نمایش ترکیب سنگ کل گدازهای بالشی افیولیت ملاتر نایین روی نمودار قلیایی ( $Na_2O + K_2O$ ) نسبت به  $SiO_2$  (برگرفته از [21])؛ (B) نمایش ترکیب سنگ کل گدازهای بالشی افیولیت ملاتر نایین روی نمودار AFM (برگرفته از [22])؛ (C) نمایش ترکیب سنگ کل گدازهای بالشی افیولیت ملاتر نایین روی نمودار قلیایی ( $Na_2O + K_2O$ ) نسبت به  $SiO_2$  (برگرفته از [23])؛ (D) موقعیت نمونه‌های مورد بررسی در نمودار  $SiO_2$  نسبت به  $K_2O$ .



شکل 7 (A) نمایش ترکیب سنگ کل گدازه‌های بالشی افیولیت ملاتز نایین در نمودار Ce/Yb نسبت به Ta/Yb (برگرفته از [24]); (B) نمایش ترکیب سنگ کل گدازه‌های بالشی افیولیت ملاتز نایین در نمودار Th/Yb نسبت به Ta/Yb (برگرفته از [24]); (C) نمایش ترکیب سنگ کل گدازه‌های بالشی افیولیت ملاتز نایین در نمودار Th-Hf/3-Ta (برگرفته از [25]); (D) نمودار بهنگارسازی عناصر نادر خاکی نسبت به کندریت؛ (E) نمودار بهنگارسازی عناصر نادر خاکی نسبت به NMORB؛ (F) نمودار بهنگارسازی عناصر نادر خاکی نسبت به EMORB

## بحث و برداشت

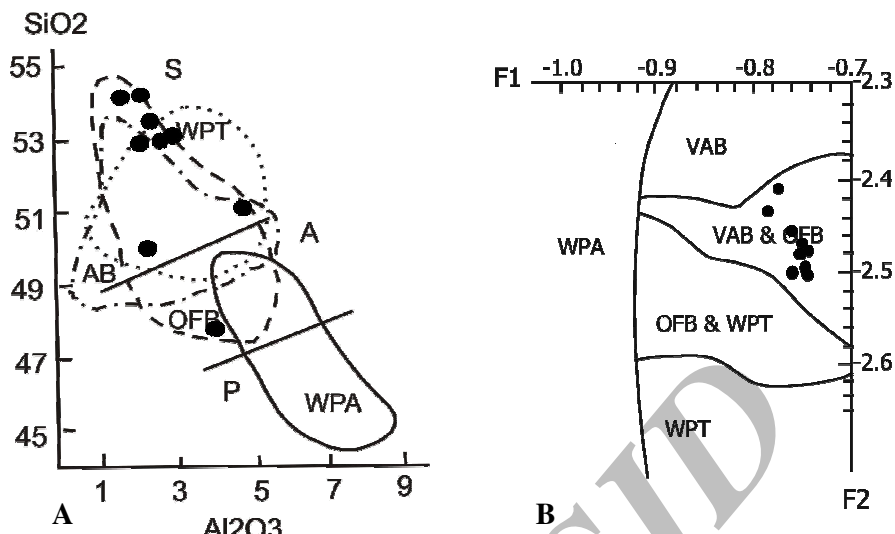
صورت متحرک بوده و  $TiO_2$  و  $Al_2O_3$  نا متحرک اند [28]. ترسیم ترکیب کلینوپیروکسنها گذارهای بالشی نایین در نمودار  $SiO_2$  نسبت به  $Al_2O_3$  (برگرفته از [26 و 29]) نشان می دهد که این نمونهها از نوع نیمه قلیایی هستند (شکل 8-A). همچنین بر پایه مقادیر F1 و F2 (برگرفته از [26]) نیز کلینوپیروکسنها اسپیلیتیهای نایین، در گستره بازالتها کف اقیانوسی و بازالتها قوس آتشفسانی (VAB+OFB) قرار می گیرند (شکل 8-B).

ب) بررسی محیط زمین ساخت جهانی، با استفاده از ترکیب اسپینلهای کروم دار، کروم اسپینل در سنگهای آتشفسانی به صورت پیدا ریز بلور و یا نفوذهایی در کانی های دیگر دیده می شوند، و با استفاده از گستره ترکیبی و آنالیز ریز پردازشی آن،  $TiO_2$  می توان به نوع شیمی ماقما بی برد. با استفاده از نسبت  $(Fe^{3+}/(Cr+Al+Fe^{3+}) = Fe^{3+}\#$  موجود در اسپینلها، می توان سه نوع ماقمای اصلی یعنی بازالت درون صفحه ای، مورب، و بازالت جزایر قوسی را از یکدیگر تشخیص داد [2]. بررسیهای نشان می دهند که این کانی در موربها در مقادیر کمی تشکیل می شود و بیشتر به نظر می رسد که حضور آن به بازالتها اولیه و پیکربنی غنی از الیوین و دیگر آبگونهای اولیه غنی از کروم محدود باشد [30]. این کانی در موربها دارای نسبت  $FeO/(FeO+MgO)$  پایینی بوده [31, 32] دستخوش شکستگی چندان مهمی هنگام صعود ماقما نشده است. علاوه بر این اسپینلهای موجود در موربها از نظر  $Al$  غنی [30] و دارای  $Ti$  پایینی هستند [33]. نمایش موقعیت کروم اسپینلهای موجود در گذارهای بالشی افیولیت شمال نایین روی نمودار درصد  $TiO_2$  نسبت به  $Cr\#$  نیز نشان می دهد که نمونه های گذارهای بالشی در گستره بازالتها MORB قرار می گیرند (A-9). همچنین بررسی نسبت درصد  $TiO_2$  نسبت به  $Fe^{3+}\#$  و نمایش موقعیت کروم اسپینلهای موجود در گذارهای بالشی افیولیت نایین در نمودار مربوطه نشان می دهد که آنها در گستره بازالتها MORB قرار می گیرند (شکل 9-B). در نمودار  $Cr\#$  نسبت به  $Mg\#$  که توسط [34] برای اسپینلهای موجود در سنگهای آتشفسانی ارائه داده است نیز نمونه ها در گستره موربها قرار می گیرند (شکل 9-C).

علاوه بر بررسی ترکیب سنگ کل، از نتایج آنالیز کانیهای اولیه و آذرین سالم نیز می توان به عنوان شاخص محیط زمین ساخت جهانی استفاده کرد. از جمله این کانیها می توان به کلینوپیروکسنها و اسپینلهای کروم دار موجود در این سنگها اشاره کرد. در ادامه به بررسی محیط زمین ساخت جهانی گذارهای بالشی افیولیت نایین با استفاده از ترکیب این کانی ها، به شرح زیر پرداخته می شود.

(الف) در بررسی محیط زمین ساخت جهانی بر پایه ترکیب کلینوپیروکسنها، می توان به از جمله پیشگامان این روش؛ [26, 27] اشاره کرد. پس از آنها نیز افراد زیادی به بررسی ارتباط بین ترکیب کلینوپیروکسنها کلسیک با محیط زمین ساختی که افیولیت در آن شکل گرفت، پرداخته اند. به عقیده [3] تفاوت در میزان  $Ti$  می تواند بیانگر نوع افیولیت باشد. پایه این روش بر این استوار است که فعالیت یک عنصر در کلینوپیروکسنی که از یک آبگون متبلور می شود، با فعالیت همان عنصر در آبگون مناسب است و آن را به صورت  $K_D^{\text{CPX}_{\text{Liquid}}}$  نشان می دهند. به این ترتیب تفاوت های شیمیایی

بین آبگون سری های ماقمایی اصلی می تواند بر ترکیب کلینوپیروکسن تاثیر بگذارد، به ویژه روی عناصری که در زمینه این سنگها شرکت می کنند [27]. از آنجا که ویژگی سنگ-شناسی و ژئوشیمی سنگهای آتشفسانی ممکن است که مستقیماً با محیط زمین ساختی آنها رابطه داشته باشد، لذا در دگرسانی های بعدی (از قبیل واکنش ها در دمای پایین بازالت با آب دریا و دگرگونی ناحیه ای) ممکن است ویژگی های ژئوشیمی و کانی-شناسی اولیه سنگهای آتشفسانی را تحت تاثیر قرار دهد و تشخیص رژیمهای زمین ساختی قدیمی را دستخوش مشکل کند [27]. به عنوان مثال دگرگونی زیر دریایی بازالتها (اسپیلیت ها) موجب می شود که این سنگها از نظر  $Ca$ ،  $Mg$ ،  $Si$  (تهی شده و از نظر عناصر  $K$ ،  $Na$ ،  $Fe$  غنی شوند، و عناصر  $Fe$  و  $Mg$  به صورت متحرک عمل کنند. همچنین در دگرگونی رخساره شیست سبز در بازالتها عناصر  $Fe$ ،  $Mg$ ،  $Na$ ،  $K$  و به

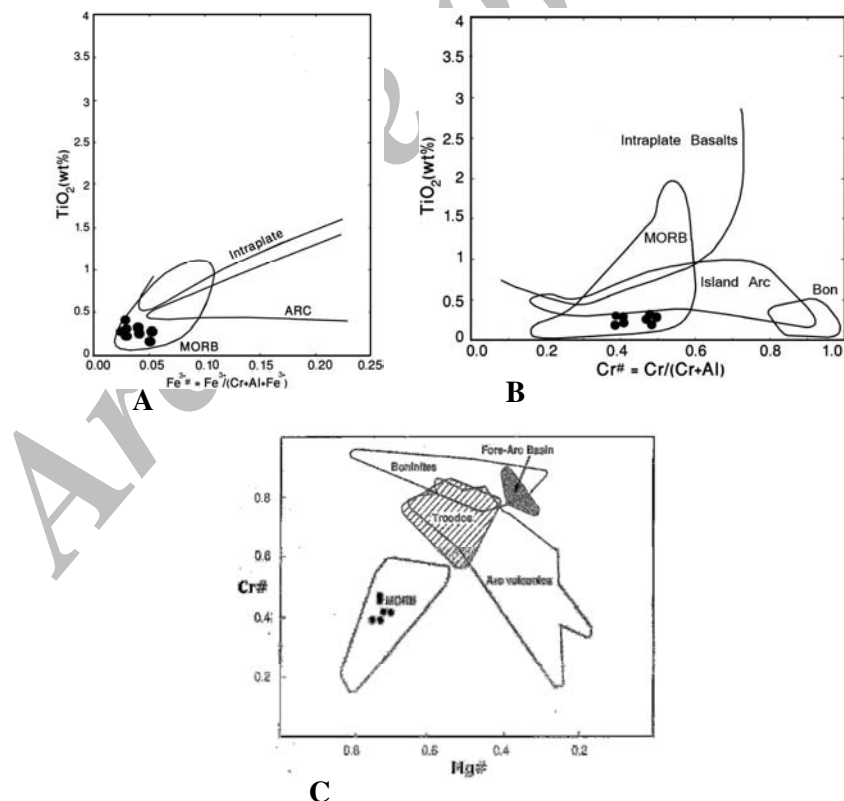


شکل 8 (A) ترکیب کلینوپیروکسن‌های موجود در گدازه‌های بالشی افیولیت شمال نایین در نمودار  $\text{SiO}_2$  نسبت به  $\text{Al}_2\text{O}_3$  (برگرفته از [26] و [29]); (B) نمایش موقعیت کلینوپیروکسن‌های موجود در گدازه‌های بالشی افیولیت شمال نایین در نمودار F1 و F2 (برگرفته از [26]).

\* محاسبه مقادیر F1 و F2

$$F1 = -0.012 \times \text{SiO}_2 - 0.0807 \times \text{TiO}_2 + 0.0026 \times \text{Al}_2\text{O}_3 - 0.0012 \times \text{FeO}^* - 0.0026 \times \text{MnO} + 0.0087 \times \text{MgO} - 0.0128 \times \text{CaO} - 0.0419 \times \text{Na}_2\text{O}$$

$$F2 = -0.0469 \times \text{SiO}_2 - 0.0818 \times \text{TiO}_2 - 0.0212 \times \text{Al}_2\text{O}_3 - 0.0041 \times \text{FeO}^* - 0.1435 \times \text{MnO} - 0.0029 \times \text{MgO} + 0.085 \times \text{CaO} + 0.0160 \times \text{Na}_2\text{O}$$



شکل 9 (A) ترکیب اسپینلهای کروم‌دار بر روی نمودار  $\text{TiO}_2$  در برابر  $\text{Fe}^{3+}\#$  (برگرفته از [2]); (B) ترکیب اسپینلهای موجود در گدازه‌های بالشی افیولیت شمال نایین در نمودار  $\text{TiO}_2$  نسبت به  $\text{Cr}\#$  (برگرفته از [2]); (C) ترکیب اسپینلهای کروم‌دار در نمودار  $\text{Cr}\#$  نسبت به  $\text{Mg}\#$  (برگرفته از [34]).

## محاسبه نرخ ذوب بخشی

خوبی مشخص است. اسپیلیتها شامل گروهی از سنگهاست که از لحاظ رخداد و عناصر بافتی شبیه به بازالتها می‌تواند درجات بالای بازالتها به وسیله وجود فازهای کانیایی رخساره شیست سبز مثل آلبیت، کلریت، اپیدوت، کلسیت، تفکیک می‌شوند. به طور کلی می‌توان از شواهد اسپیلیتی شدن به وجود کلریت حاصل از دگرسانی الیوینها و پیروکسنها، تشکیل پومپلیت، تغییر ترکیب پلاژیوکلارها از سمت کلسیک به سمت سدیک، و فراوانی عناصر آلکالی در ترکیب این سنگ‌ها اشاره کرد. در شکل 11 واکنشهایی که حین پدیده اسپیلیتی شدن رخ می‌دهد آورده شده‌اند. چنان‌که در این تصویر نیز مشاهده می‌شود طی این فرایند و تحت تاثیر شاره‌های حاوی Na و CO<sub>2</sub>، عناصر Ca, Mg, Mn موجود در بازالت شسته شده، و جای خود را به Na می‌دهند. به این ترتیب با افزایش نسبی Si, Fe, Al و Na، می‌توان شاهد تبدیل کانی‌های پلاژیوکلاز و اوژیت به آلبیت و کلریت در اسپیلیت بود.

## زمین دماستنجی

به منظور زمین دماستنجی این سنگها از روش زمین دماستنجی کلینوپیروکسن موجود در این سنگها که [36] ارائه کرده است استفاده شد. نتایج حاصل از زمین دماستنجی کلینوپیروکسنها در جدول ۵ آورده شده‌اند. دمای تشکیل کلینوپیروکسنها در فشارهای ۱ تا ۶ کیلوبار، ۱۰۵۸ تا ۱۱۷۰ درجه سانتیگراد بوده است. فرمول مورد استفاده در این روش چنین است:

ذوب بخشی را نشان دهد [2]. در بررسیهای [35] روشی برای محاسبه درصد ذوب بخشی سنگ خاستگاه ارائه شده است. این روش بر پایه محتوای Cr# اسپیلنهای موجود در سنگ بوده و فرمول آن به صورت  $F\% = 10\ln(Cr\#) + 24$  است. نتایج حاصل بیانگر این هستند که این گدازه‌های بالشی دستخوش ذوب بخشی در گستره ۱۶-۱۴ درصد نسبت به سنگ خاستگاه پریدوتیتی اولیه خود شده‌اند. از سوبی دیگر بررسیهای [14] نشان می‌دهد که میزان ذوب بخشی لرزولیتهای افیولیت نایین در حدود ۸ درصد و هارزیورگیتها و دونیتهای منطقه در حدود ۱۵-۱۶ درصد است. با توجه به کمتر بودن میزان ذوب بخشی لرزولیتها می‌توان لرزولیت اسپیل دار را به عنوان خاستگاه پریدوتیتی اولیه این سنگها معرفی کرد.

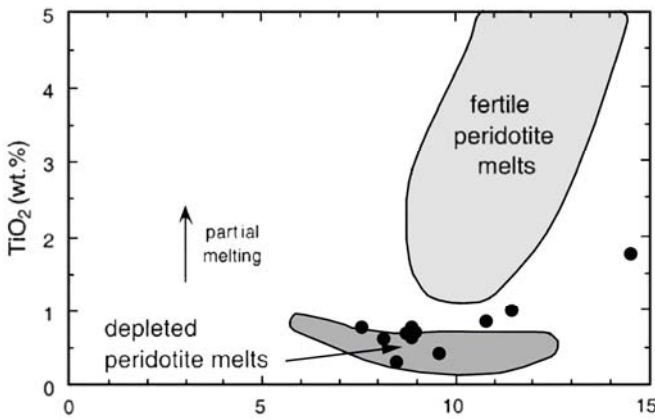
بررسی میزان TiO<sub>2</sub> و Fe<sub>2</sub>O<sub>3</sub> گدازه‌های بالشی و ترسیم آنها در نمودار (شکل 10) نیز نشان می‌دهد که نمونه‌ها تقریباً در گستره آبگون‌های پریدوتیتی تهی شده با ذوب بخشی بالا قرار می‌گیرند.

## بررسی دگرگونی کف دریا

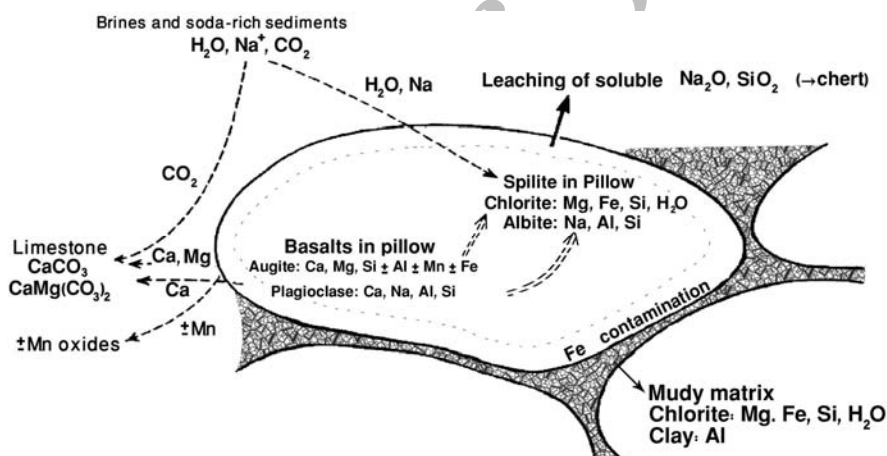
حضور گدازه‌های بالشی نشان از رخداد آتشفسانی در محیط آبی عمیق محیط‌های کف اقیانوسی دارد. هنگامی که گدازه‌ها و سنگ‌های حاصل از سردایش در تماس با آب دریا قرار می‌گیرند با آنها وارد واکنش شده و تبادله‌ای را انجام می‌دهند. نتیجه این واکنشها تشکیل اسپیلیتهای کف اقیانوسی است. شواهد این تبادله‌ای شیمیایی و اسپیلیتی شدن گدازه‌های بالشی در بررسی‌های صحرایی و آزمایشگاهی نمونه‌های افیولیت نائین به

$$T(K) \pm 30 = \frac{23166(\pm 447) + 39.28(\pm 4.27).P(Kbar)}{13.25(\pm 0.32) + 15.32(\pm 2.90).Ti + 4.50(\pm 0.83).Fe - 1.55(\pm 0.29).(Al + Cr - Na) + (Lna_{en}^{cpx})^2}$$

$$a_{en}^{cpx} = (1 - Ca - Na - K).(1 - \frac{1}{2}(Al + Cr + Na + K))$$



شکل 10 نمونه‌های گدازه‌های بالشی در نسبت  $\text{TiO}_2/\text{Fe}_2\text{O}_3$  نسبت به  $\text{Fe}_2\text{O}_3$  (برگرفته از [37]).



شکل 11 تبادله‌ایی که هنگام اسپیلیتی شدن گدازه‌های بالشی رخ می‌دهند (برگرفته از [38]).

جدول 5 میزان دمای محاسبه شده در فشارهای 1 تا 6 کیلوبار برای کلینوپیروکسن‌های موجود در گدازه‌های بالشی افیولیت ناپین با استفاده از روش [36].

Pressures (Kbar):	1	2	3	4	5	6
Samples:	Temperatures (°C):					
Clinopyroxene 1	1075	1077	1079	1082	1084	1086
Clinopyroxene 2	1058	1060	1063	1065	167	1069
Clinopyroxene 3	1158	1160	1163	1165	1168	1170
Clinopyroxene 4	1103	1106	1108	1110	1113	1115
Clinopyroxene 5	1082	1084	1087	1089	1091	1094
Clinopyroxene 6	1091	1093	1095	1098	1100	1102
Clinopyroxene 7	1090	1092	1094	1097	1099	1101
Clinopyroxene 8	1144	1147	1149	1152	1154	1156
Clinopyroxene 9	1119	1121	1124	1126	1128	1131

- [5] Davoudzadeh M., "Geology and petrography of the north area of Nain, Central Iran", Geological Survey of Iran, Report no. 14 (1972) 89 p.
- [6] جباری ع، "زمین‌شناسی و پترولوزی افیولیت نائین"، پایان نامه کارشناسی ارشد پترولوزی گروه زمین‌شناسی دانشگاه اصفهان، (1376) 163 ص.
- [7] منوچهری ش، "بررسی پتروگرافی و پترولوزی افیولیتهای شمال نائین"، رساله کارشناسی ارشد پترولوزی دانشکده علوم زمین دانشگاه شهید بهشتی، (1376) 190 ص.
- [8] Lensch G., Davoudzadeh M., "Ophiolites in Iran", Neues Jahrbuch Fur geologie und palaontologie Abhandlungen (1982) 306-320.
- [9] رهگشائی م، و شفائی مقدم م، "مطالعه میکروساختاری کانی الیوین در مجموعه افیولیت نائین (ایران مرکزی)", یازدهمین همایش بلورشناسی و کانی‌شناسی دانشگاه یزد، (1382) 279-275 ص.
- [10] رحمانی ف، "پترولوزی دایک‌های صفحه‌ای افیولیت نائین (ایران مرکزی)", پایان نامه کارشناسی ارشد پترولوزی گروه زمین‌شناسی دانشگاه اصفهان، (1384) 130 ص.
- [11] سعیدی م، نقره بیان م، خلیلی م، مکی زاده م.ع، "توصیف پتروگرافی لیستونیت‌ها و بررسی پدیده‌های لیستونیتی شدن"، مجموعه مقالات هفته پژوهش دانشگاه اصفهان، (1384) 48-47 ص.
- [12] فلاحتی س، نقره بیان م، خلیلی م، مکی زاده م.ع، "توصیف پتروگرافی لیستونیت‌ها و بررسی پدیده‌های لیستونیتی شدن"، خلاصه مقالات هفته پژوهش دانشگاه اصفهان، (1384) 115-114 ص.
- [13] ترابی ق، شیردشت زاده ن، نوربهشت ا، پیرنیا ت، "مطالعه آمفیبولیت‌ها و دایک‌های آمفیبولیتی موجود در افیولیت ملانژ‌های نائین و عشین-زوار"، مجله پژوهشی دانشگاه اصفهان، (1386) (در حال چاپ).
- [14] پیرنیا نایینی ت، "مطالعه پریدوتیت‌های گوشته افیولیت ملانژ نائین"، پایان نامه کارشناسی ارشد پترولوزی گروه علوم زمین دانشگاه اصفهان، (1386) 193 ص.
- [15] شیردشت زاده ن، ترابی ق، نوربهشت ا، پیرنیا ت،

## نتیجه

بررسی‌های صحرایی، سنگ‌شناختی و شیمی‌سنگ‌ها و کانی‌ها نشان می‌دهند که گدازه‌های بالشی موجود در افیولیت نایین پس از تشکیل در کرتاسه بالایی، در تماس مستقیم با آب دریا قرار گرفته و تبادله‌ای شیمیایی را با آن انجام داده‌اند. حاصل این تبادله‌ها کاهش میزان  $\text{CaO}$  و افزایش میزان  $\text{Na}_2\text{O}$  است که درنهایت باعث تبدیل این سنگ‌ها به اسپیلیت شده است.

در اثر پدیده اسپیلیتی شدن، تمامی الیوین‌ها و پلازیوکلازها دستخوش دگرسانی شده و بین کانی‌های اولیه و آذرین، تنها برخی از پیروکسنها و تمام اسپینلهای کروم دار تحت تاثیر دگرگونی قرار نگرفته‌اند. حضور پومپلیت، آلیتی شدن پلازیوکلازها، کلریتی شدن الیوین‌ها، تبدیل شدن برخی از کلینوپیروکسن‌ها به آمفیبول، و بالا بودن مقدار عنصر قلیایی ( $\text{Na}_2\text{O} + \text{K}_2\text{O}$ ) موجود در این سنگ‌ها، همه از شواهد رخداد دگرگونی کف اقیانوسی و تبدیل این سنگ‌ها به اسپیلیت در رخساره شیست سبز هستند. مطالعه ژئوشیمی سنگ کل و بررسی ترکیب کلینوپیروکسنها و اسپینلهای کروم دار نشان می‌دهد که گدازه‌های بالشی موجود در افیولیت نایین مشابه N-MORB‌ها هستند. همین بررسی‌های نشان می‌دهند که این گدازه‌های بالشی دارای ماهیت تولئیتی بوده و از یک خاستگاه گوشته‌ای تهی شده ریشه گرفته‌اند.

## مراجع

- [1] Dilek Y., Newcomb S., "Ophiolite concept and the evolution of geological thought", Geological Society of America, Special Paper 373 (2003) 504 p.
- [2] Arai S., "Chemistry of chromian spinel in volcanic rocks as a potential guide to magma chemistry", Mineralogical Magazine 56 (1992) 173-184.
- [3] Beccaluva L., Macciotta G., Piccardo G.B., Zeda O., "Clinopyroxene composition of ophiolite basalts as petrogenetic indicator", Chemical Geology 77 (1989) 165-182.
- [4] Pessagno E. A. Jr., Ghazi A. M., Kariminia M., Duncan R. A., Hassanipak A. A., "Tectonostratigraphy of the Khoj Complex, northwestern Iran", stratigraphy 2-1(2005) 49-63.

- [26] Nisbet E.G., Pearce J.A., "Clinopyroxene composition of mafic lavas from different tectonic settings", Contributions to Mineralogy and Petrology 63 (1977) 161-173.
- [27] Leterrier J., Maury R.C., Thonon P., Girard D., Marchal M., "Clinopyroxene composition as a method of identification of the Magmatic affinities of Paleo-volcanic series", Earth and Planetary science Letters 59 (1982) 139-154.
- [28] Rollinson H., "Using Geochemical Data: evaluation, presentation, interpretation", Longman Group UK Ltd., London, United Kingdom (1993) 352.
- [29] Le Bas M.J., "On the origin of the Tertiary granophyres of the Carlingford Complex, Ireland", Proceedings of the Royal Irish Academy 65B (1967) 325-38
- [30] Sigurdsson H., Schilling J.-G., "Spinels in Mid-Atlantic Ridge Basalts: Chemistry and occurrence", Earth and Planetary Science Letters 29 (1976) 7-20.
- [31] Hedges F.N., Papike J.J., "Petrology of basalts, gabbros and peridotites from DSDP Leg 37. In: Aumento", W.F., Nelson, W.G. (eds.), Initial Reports on the Deep Sea Drilling Project 37 (1977) 711-723.
- [32] Schrader E. L., Rosendahl B. R., Furbish W. J., Meadows G., "Picritic basalts from the Siqueiros transform fault. In: Rosendahl", B.R., Hekinian, R. et al. (eds.), Initial Reports on the Deep Sea Drilling Project 54 (1980) 771-778.
- [33] Dick H.J.B., Bullen T., "Chromian spinel as a petrogenetic indicator in abyssal and alpine-type peridotites and spatially associated lavas" Contributions to Mineralogy and Petrology 86 (1984) 54-76.
- [34] Kepezhinskas P. K., Taylor R. N., Tanaka H., "Geochemistry of plutonic spinels from the North Kamchatka Arc – Comparisons with spinels from other tectonic settings", Mineralogical Magazine 57-389 (1993) 575-590.
- [35] Hellebrand E., Snow J. E., Hofmann A. W., "Coupled major and trace elements as indicators of the extent of melting in midocean-ridge peridotites", Nature 410(6829) (2001) 677-681.
- [36] Nimis P., Taylor W.R., "Single clinopyroxene thermobarometry for garnet peridotites. Part I. Calibration and testing of a Cr-in-Cpx barometer
- عبداللهی ا., "بررسی انواع دگرگونی‌ها و سنگ‌های دگرگونی موجود در افیولیت ملانتر شمال نائین", مجموعه مقالات هفته پژوهش دانشگاه اصفهان، (در حال چاپ).
- [16] شیردشت زاده ن، "پترولوجی سنگ‌های دگرگونی افیولیت ملانتر نائین (استان اصفهان)", پایان نامه پetroلوجی کارشناسی ارشد گروه زمین‌شناسی دانشگاه اصفهان، (1386) 192 ص.
- [17] Hushmandzadeh A., "Ophiolites of south Iran and their genetic problems", Geological Survey of Iran, Internal Report (1977) 89 p.
- [18] Droop G.T.R., "A general equation for estimating  $Fe^{3+}$  concentrations in ferromagnesian silicates and oxides from microprobe analyses, using stoichiometric criteria", Mineralogical Magazine 51 (1987) 431-435.
- [19] Kretz R., "Symbols for rock-forming minerals", American Mineralogist 68 (1983) 277-279.
- [20] Morimoto N., "Nomenclature of pyroxenes", Canadian Mineralogist 27 (1989) 143-156.
- [21] Irvine T.N., Baragar W.R.I., "A guide to the chemical classification of the common volcanic rocks", Canadian Journal of Earth Sciences 8 (1971) 523-548.
- [22] Kuno H., "Lateral variation of basalt magma across continental margins and island - arcs", Geological survey of Canada, 66(15) (1966) 317-336.
- [23] Le Maitre, R.W., Bateman P., Dudeck A., Keller J., Lameyre Le Bas M.J., Sabine P.A., Schmid R., Sorensen H., Streckeisen A., Woolley A.R., Zanettin B., "A classification of igneous rocks and glossary of terms", Blackwell, Oxford (1989) 195 p.
- [24] Pearce J.A., "Trace element characteristics of lavas from destructive plate boundaries. In: Thorpe", R. S., ed., Andesites: Chichester, Wiley (1982) 525-548.
- [25] Wood D.A., "The application of a Th-Hf-Ta diagram to problems of tectonomagmatic classification and to establishing the nature of crustal contamination of basaltic lavas of the British Tertiary volcanic province": Earth and Planetary Science Letters 50-1 (1980) 11-30.

*and an enstatite-in-Cpx thermometer”, Contributions to Mineralogy and Petrology 139 (2000) 541-554.*

[37] Falloon T.J., Green D.H., Hatton C.J., Harris K.L., “*Anhydrous partial melting of a fertile and depleted peridotite from 2 to 30 kb and application to basalt petrogenesis*”, J. of Petrology 29 (1988) 1257–1282.

[38] Hyndman D. W., “*Petrology of igneous and metamorphic rocks*”, McGraw Hill Book Company (1985) 786 p.

Archive of SID